



شیمی کانیایی و جایگاه زمین‌ساختی دایک‌های دیابازی مجموعه افیولیتی کامیاران، غرب ایران

مجید سودی اجیرلو، رباب حاجی علی‌اوغلی، محسن موذن*

گروه علوم زمین، دانشکده علوم طبیعی، دانشگاه تبریز

(دریافت مقاله: ۹۵/۶/۲۷، نسخه نهایی: ۹۵/۱۰/۲۲)

چکیده: مجموعه افیولیتی کامیاران به عنوان بخشی از افیولیت کرمانشاه، در امتداد زاگرس و زمین درز نئوتیس، در غرب ایران واقع شده است. مجموعه افیولیتی کامیاران شامل هارزبورزیت‌های سرپانتینی شده، گابروهای همگن و لایه‌ای، دایک‌های دیابازی و بازالت‌های بالشی است. سنگ‌های دیابازی دچار دگرگونی در حد رخساره شیست سبز بالایی شده‌اند. بر اساس شیمی کانیایی در سنگ‌های دیابازی، ترکیب پلازیوکلаз‌ها آندزین و ترکیب کلینوپیروکسن، دیوپسیدی است. در این کلینوپیروکسن‌ها جایگاه چاروجهی به طور کامل با Si و به طور جزئی با Al^{IV} پر شده است. گریزندگی اکسیژن نیز در حین تبلور کلینوپیروکسن‌های دایک‌های دیابازی بالا بوده است که احتمالاً نشان‌دهنده تاثیر سیالات فروزانش بر دایک‌های دیابازی مجموعه افیولیتی کامیاران است. کانی‌های کلینوپیروکسن در شرایط فشار زیر ۵ کیلوبار و حضور حدود ۱۰ درصد آب تبلور یافته‌اند. این کلینوپیروکسن‌ها ویژگی IAT دارند که احتمالاً مربوط به محیط فرافورانشی است.

واژه‌های کلیدی: دیاباز؛ شیمی کانی؛ جایگاه تکونیکی-زمین‌ساختی؛ افیولیت کامیاران؛ غرب ایران.

تقسیم نمود [۵، ۶]. افیولیت کامیاران نیز به عنوان بخشی از افیولیت کرمانشاه، محل بسته شدن اقیانوس نئوتیس بین صفحه ایران مرکزی و صفحه عربی را نشان می‌دهد. زیرمجموعه افیولیت کامیاران مشابه زیرمجموعه افیولیتی صحنه - هرسین، تمامی اعضای یک مجموعه افیولیت عادی را داراست با این توضیح که با عملکرد راندگی‌ها به صورت گسله در کنار یکدیگر قرار گرفته‌اند [۷].

گذشته از بررسی‌هایی که روی کل مجموعه افیولیتی کرمانشاه صورت گرفته است [۱۲-۵] و پژوهش‌هایی که پیرامون ویژگی‌های سنگ‌شناسی بازالت‌های کامیاران انجام شده‌اند [۱۵-۱۲]، بخش‌های دیابازی و گابریی مجموعه افیولیتی کامیاران بررسی نشده‌اند. در این پژوهش هدف تعیین سرشت و خاستگاه ماغمایی دایک‌های دیابازی به عنوان

مقدمه

کمریند کوهزایی آلپ - هیمالیا در ایران شامل دو شاخه کوه‌های البرز با روند تقریبی شرقی - غربی و رشته کوه‌های زاگرس با روند تقریبی شمال غرب - جنوب شرق است [۱، ۲]. پهنه کوهزایی زاگرس که از شرق ترکیه شروع شده و با عبور از شمال عراق و شمال غرب ایران، تا تنگه هرمز و عمان امتداد یافته است [۴-۱]، منطبق بر زمین درز زاگرس است که بقایایی از پوسته اقیانوسی نئوتیس در آن جایگیری کرده‌اند. این بقایایی پوسته اقیانوسی از شمال غرب به طرف جنوب غرب شامل افیولیت‌های پیرانشهر، سروآباد، کرمانشاه، نی‌ریز و حاجی‌آباد است. افیولیت کرمانشاه را بر اساس موقعیت جغرافیایی و واحدهای تشکیل دهنده آن می‌توان به دو زیرمجموعه افیولیتی صحنه - هرسین و زیرمجموعه افیولیتی کامیاران

نفوذی ائوسن - الیگوسن در بین این دو واقع شده‌اند [۱۵] (شکل ۱).

مهمترین واحدهای سنگی منطقه اعضای مجموعه افیولیتی هستند (شکل ۱). مجموعه افیولیتی کامیاران از هارزبورژیت‌های سرپانتینی شده، گابروهای همگن و لايهای، لویکوگابرو، دایک‌های دیابازی و بازلت‌های بالشی تشکیل شده است که به صورت گسله و زمین‌ساختی در مجاورت هم واقع شده‌اند [۱۵] (شکل ۱). سنگ‌های بازالتی، دیابازی و گابرویی بیشترین رخنمون را در بین اعضای مجموعه افیولیتی دارند [۱۵] (شکل ۱). سنگ‌های دیابازی به صورت دایک هستند و اغلب درون سنگ‌های بازالتی و گابرویی نفوذ کرده‌اند (شکل ۲ الف، ب و پ). نمونه‌ای از این رخنمون‌ها را می‌توان در نزدیکی روستای بوانه مشاهده کرد (شکل ۲ الف، ب و پ).

سنگ‌نگاری

کلینوپیروکسن و پلاژیوکلاز کانی‌های اصلی سازنده سنگ‌های گابرویی کامیاران هستند (شکل ۳ الف و ب). کانی‌های تیره نیز در این سنگ‌های دیابازی به وفور دیده می‌شود (شکل ۳ ب). در سنگ‌های دیابازی که بیشتر بافت دلربیتی دارند، پیروکسن‌ها در بین پلاژیوکلازها محصور شده‌اند (شکل ۳ پ و ت). پیروکسن‌های زمینه نیز به کلریت دگرسان شده‌اند (شکل ۳ ت). در برخی از این دیابازها، پیروکسن‌ها به آمفیبول با روشی تبدیل شده است (شکل‌های ۳ ث و ج). با توجه به کانی‌های حاصل از دگرگونی کانی‌های اولیه، سنگ‌های دیابازی دگرگونی رخساره شیست سبز بالایی شده‌اند.

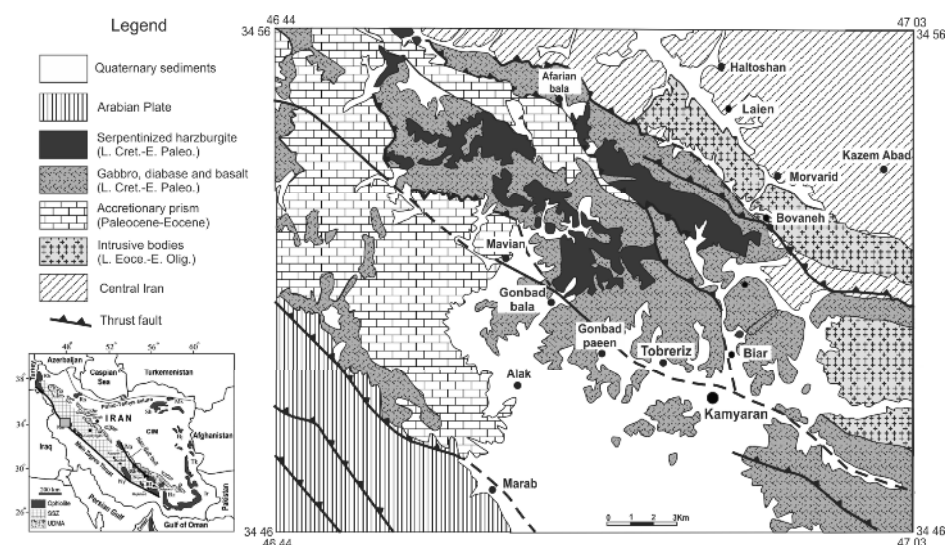
قسمتی از توالی پوسته‌ای افیولیت کامیاران با تکیه بر بررسی‌های صحرایی، میکروسکوپی و شیمی کالیابی است.

روش بررسی

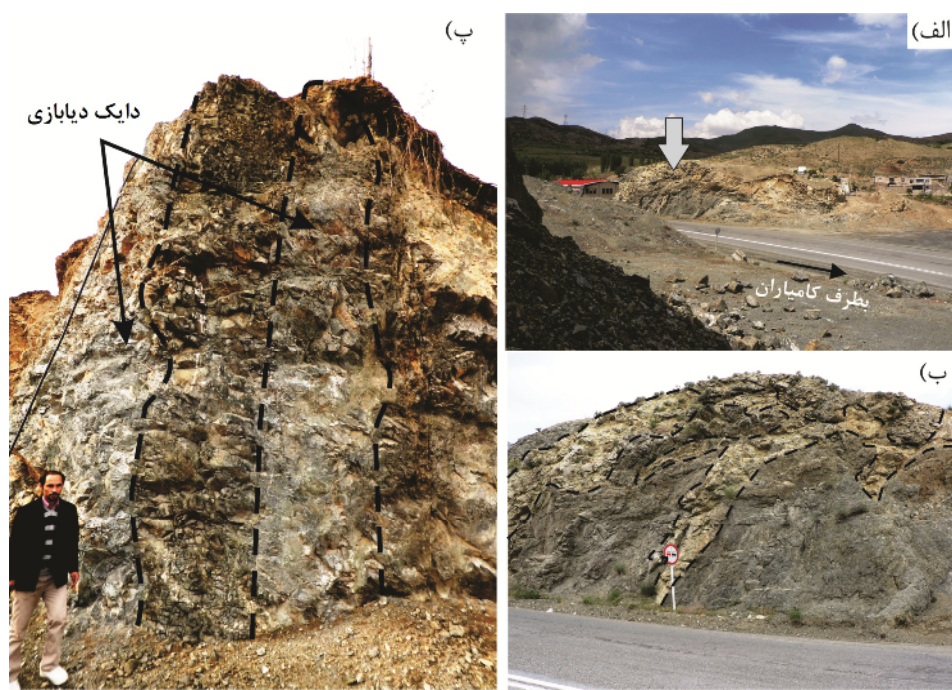
این پژوهش شامل بررسی‌های صحرایی و مشخص نمودن ارتباط واحدهای سنگی در صحراء، نمونه‌برداری منظم از سنگ‌های دیابازی، بررسی ریزپردازش نقطه‌ای از نمونه‌های دیاباز، پردازش و تحلیل دقیق نتایج این تجزیه‌ها و تعیین محیط تشکیل این سنگ‌های دیابازی است. این نمونه‌ها به وسیله دستگاه JEOL-JXA 8200 Superprobe در دانشگاه برلین که مجهز به یک طیفسنج EDX و پنج طیفسنج WDX است تجزیه شدند. در این بررسی از استاندارد کانی‌های طبیعی به عنوان مرجع (الیوین، آندزین، آلبیت، سانیدین، کرومیت و ایلمنیت) و همچنین از استانداردهای ساختگی استفاده شد. ولتاژ شتابدهنده ۱۵ کیلوولت، شدت جریان ۲۰ نانوآمپر، قطر نقطه ۵ میکرومتر و زمان اندازه‌گیری ۱۰ ثانیه بوده است.

زمین‌شناسی عمومی

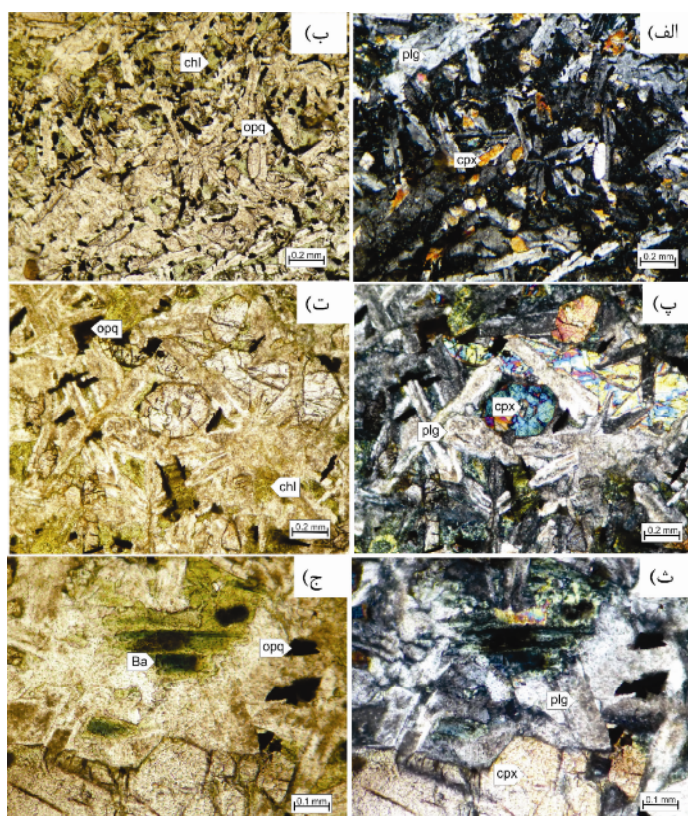
منطقه مورد بررسی بین دو منطقه ساختاری و زمین‌ساختی ایران مرکزی و صفحه عربی واقع شده است [۵، ۶، ۱۱، ۱۲]. براین اساس در بخش‌های جنوب غربی محدوده مورد بررسی واحدهای زمین‌شناسی مربوط به صفحه عربی قرار داشته و در بخش‌های شمال شرقی نیز واحدهای سنگ‌شناسی ایران مرکزی قرار دارد [۱۵] (شکل ۱). بخش‌های افیولیتی بهمراه سنگ‌های رسوبی مرتبط با منشورهای فزاینده و سنگ‌های



شکل ۱ نقشه ساده افیولیت کامیاران (برگرفته از [۱۵] همراه با تغییرات).



شکل ۲ الف- بریدگی راه کامیاران - سنندج در نزدیکی روستای بوانه و موقعیت دایک های دیابازی. ب- دایک های دیابازی نزدیک روستای بوانه با رنگ روشن در زمینه ای از سنگ های بازالتی. پ- دایک های دیابازی نزدیک روستای بوانه از نمای نزدیک.



شکل ۳ الف- کانی های کلینوپیروکسن و پلازیوکلاز در سنگ های دیابازی در نور طبیعی. ب- وجود کانی های تیره فراوان و تشکیل کلریت از کانی های اولیه در نور تداخلی. پ- کلینوپیروکسن سالم به دام افتاده در بین پلازیوکلازها و تشکیل بافت دلبریتی در دیابازها در نور طبیعی. ت- تشکیل کلریت از کانی های زمینه در دیاباز در نور تداخلی. ث- کافولینیتی شدن پلازیوکلازها در نور طبیعی. ج- تبدیل پیروکسن به آمفیبول (احتمالاً باروسیت) در نور تداخلی (Cpx: کلینوپیروکسن، Plg: پلازیوکلاز، Ba: باروسیت، Opq: کانی تیره، Chl: کلریت). علامت اختصاری از مرجع [۱۶] اقتباس شده است.

با ویژگی‌های سنگ‌شناسی (دیابازی) همخوانی دارد. درصد بالای آلیت احتمالاً نشان دهنده رخداد دگرنهادی سدیمی است.

کلینوپیروکسن

کلینوپیروکسن‌های تجزیه شده دارای وولاستونیت (۴۴,۶۲ تا ۴۴,۹۵ درصد)، انسستاتیت (۴۱,۳۶ تا ۴۱,۷۷ درصد) و فروسیلیت (۱۳,۴۷ تا ۱۳,۶۹ درصد) هستند (جدول ۲). پیروکسن در این سنگ‌های دیابازی بر اساس نمودار رده‌بندی پیروکسن‌ها [۱۷] از نوع دیوپسیدی هستند و در گستره سدیم-کلسیم - منیزیوم‌دار قرار می‌گیرند.

شیمی کانیابی

به منظور شناخت ترکیب شیمیابی کانی‌ها و استفاده از آن در بررسی‌های بعدی، پلازیوکلاز و کلینوپیروکسن در نمونه‌های دیاباز تجزیه شدند. نتایج در جدول‌های ۱ و ۲ آورده شده‌اند.

پلازیوکلاز

باتوجه به داده‌های جدول ۱ کانی‌های پلازیوکلاز در نمونه دیابازی ترکیب آندزین هستند و سازای آن عبارتند از آلیت ۶۷,۸۴ تا ۵۴,۱۶ درصد)، اورتوز ۶۹,۴۱ تا ۵,۱۱ درصد) و آنورتیت (۲۷,۳۲ تا ۳۷,۹۸ درصد). این ترکیب برای پلازیوکلاز

جدول ۱ نتایج تجزیه ریزپردازشی نقطه‌ای پلازیوکلاز در سنگ‌های دیابازی. فرمول کانی‌ها به ازای ۸ اکسیژن محاسبه شده است. BD- پایین‌تر از حد آشکارسازی.

Rock type	دیاباز											
	۸۷	۸۸	۸۹	۹۰	۹۱	۹۲	۹۳	۹۴	۹۵	۹۶	۹۷	۹۸
Point No.	۸۷	۸۸	۸۹	۹۰	۹۱	۹۲	۹۳	۹۴	۹۵	۹۶	۹۷	۹۸
SiO ₂	۶۱,۶۷	۶۱,۵۸	۶۰,۸۹	۶۰,۴۴	۶۱,۱۱	۶۱,۱۸	۶۰,۱۴	۶۱,۸۷	۶۰,۱۳	۶۰,۸۱	۶۰,۴۶	۶۰,۴۵
TiO ₂	۰,۰۶	۰,۰۵	۰,۰۴	۰,۷	۰,۰۳	۰,۰۷	۰,۰۴	۰,۰۶	۰,۱۰	۰,۰۶	۰,۰۵	۰,۰۷
Al ₂ O ₃	۲۴,۷۳	۲۴,۸۵	۲۵,۹۵	۲۴,۳۲	۲۵,۶۷	۲۵,۲۵	۲۴,۵۳	۲۴,۸۳	۲۴,۰۲	۲۵,۸۷	۲۸,۹۵	۲۸,۰۴
Cr ₂ O ₃	۰,۰۱	۰,۰۱	۰,۰۱	۰,۰۳	۰,۰۱	۰,۰۲	۰,۰۱	۰,۰۱	۰,۰۵	BD	۰,۰۳	۰,۰۳
FeO ^t	۰,۸۱	۰,۸۵	۰,۸۶	۰,۷۱	۰,۸۲	۰,۷۸	۰,۷۲	۰,۷۶	۰,۵۱	۰,۶۷	۰,۷۸	۰,۶۷
MnO	۰,۰۱	۰,۰۲	۰,۰۱	۰,۰۱	۰,۰۳	۰,۰۳	۰,۰۲	۰,۰۱	۰,۰۱	۰,۰۵	۰,۰۲	۰,۰۵
MgO	۰,۳۰	۰,۳۱	۰,۳۵	۰,۴۵	۰,۵۶	۰,۲۹	۰,۳۱	۰,۳۵	۰,۴۵	۰,۷۰	۰,۷۳	۰,۶۹
CaO	۵,۶۹	۶,۵۹	۶,۵۴	۵,۷۷	۵,۸۱	۵,۸۵	۵,۱۶	۵,۴۹	۷,۵۷	۶,۵۸	۵,۸۶	۳,۳۴
Na ₂ O	۵,۷۴	۵,۹۸	۵,۶۴	۵,۴۲	۵,۹۲	۵,۳۱	۵,۰۴	۵,۶۹	۶,۶۲	۴,۴۳	۲,۳۲	۵,۰۲
K ₂ O	۰,۷۸	۰,۷۳	۰,۷۷	۰,۴۷	۰,۸۱	۰,۵۵	۰,۵۲	۰,۸۸	۰,۴۷	۰,۸۷	۰,۸۲	۰,۵۳
Total	۹۹,۸۹	۹۹,۸۴	۹۹,۸۳	۹۹,۸۲	۹۹,۷۶	۹۹,۳۰	۹۹,۹۹	۹۹,۹۴	۹۹,۹۴	۱۰۰,۰۳	۱۰۰,۰۱	۹۹,۸۸
Si	۱۰,۰۲	۱۰,۰۳	۹,۰۲	۹,۷۸	۹,۸۴	۱۰,۰۴	۱۰,۴۸	۱۱,۰۲	۱۰,۷۸	۹,۷۳	۱۰,۱۸	۱۱,۰۲
Ti	۰,۰۱	۰,۰۱	۰,۰۱	۰,۰۱	۰,۰۱	۰,۰۱	۰,۰۱	۰,۰۱	۰,۰۱	۰,۱۵	۰,۰۱	۰,۰۱
Al	۵,۸۰	۵,۸۸	۶,۹۰	۶,۱۷	۶,۶۶	۶,۱۶	۵,۴۹	۵,۳۰	۵,۰۷	۶,۹۷	۶,۵۳	۵,۴۲
Cr	BD	BD	BD	BD	BD	BD	BD	BD	BD	BD	BD	BD
Fe	۰,۱۶	۰,۲۰	۰,۲۱	۰,۱۸	۰,۲۵	۰,۱۲	۰,۰۳	۰,۱۱	۰,۰۸	۰,۲۷	۰,۲۳	۰,۱۰
Mn	BD	BD	BD	BD	BD	BD	BD	BD	BD	BD	BD	BD
Mg	۰,۰۲	۰,۰۱	۰,۰۲	BD	۰,۰۲	۰,۰۱	BD	۰,۰۲	BD	۰,۰۳	۰,۰۲	۰,۰۱
Ca	۰,۴۹	۰,۵۰	۰,۴۹	۰,۴۴	۰,۵۰	۰,۵۵	۰,۸۳	۰,۴۴	۱,۴۹	۲,۳۲	۲,۱۷	۱,۲۵
Na	۲,۵۰	۲,۲۶	۲,۱۵	۲,۳۲	۲,۳۴	۲,۶۱	۲,۷۸	۲,۰۰	۲,۳۷	۰,۱۶	۰,۷۷	۱,۷۲
K	۰,۱۱	۰,۴۹	۰,۶۰	۰,۲۳	۰,۴۱	۰,۴۲	۰,۰۷	۰,۰۹	۰,۱۱	۰,۲۴	۰,۱۰	۰,۲۰
Total	۱۹,۷۹	۱۹,۴۶	۱۹,۴۷	۱۹,۹۳	۲۰,۰۰	۱۹,۸۹	۱۹,۶۹	۱۹,۷۷	۱۹,۹۱	۱۹,۸۴	۱۹,۹۹	۱۹,۷۲
An	۳۳,۲۱	۲۶,۳۸	۲۷,۳۵	۲۷,۴۲	۲۷,۳۲	۳۰,۴۱	۳۰,۴۶	۳۳,۳۱	۳۷,۳۷	۳۲,۸۹	۲۷,۶۴	۳۷,۹۸
Ab	۵۹,۹۷	۶۶,۸۴	۶۷,۸۴	۶۷,۶۳	۶۷,۰۵	۶۶,۷۵	۶۴,۵۷	۵۹,۸۷	۵۹,۶۶	۶۲,۹۱	۶۷,۲۶	۵۴,۱۶
Or	۶,۸۲	۶,۷۹	۶,۸۱	۶,۷۱	۵,۶۳	۶,۹۴	۵,۹۶	۶,۸۲	۵,۷۳	۶,۱۹	۵,۱۱	۷,۸۵

جدول ۲ نتایج تجزیه کلینوپیروکسن در سنگ‌های دیابازی مجموعه افیولیتی کامیاران. فرمول کانی به ازای ۶ اکسیژن محاسبه شده است. BD - پایین‌تر از حد آشکارسازی.

Rock type	دیاباز											
	۹۹	۱۰۰	۱۰۱	۱۰۲	۱۰۴	۱۰۵	۱۰۶	۱۰۷	۱۰۸	۱۰۹	۱۱۰	۱۱۱
Point No.	۵۰,۸۵	۵۰,۲۲	۵۱,۶۰	۵۱,۹۷	۵۱,۳۶	۵۱,۶۶	۵۰,۶۵	۵۲,۰۳	۵۰,۹۹	۵۱,۵۳	۵۰,۹۸	۵۲,۷۸
SiO ₂	۱,۰۶	۰,۹۱	۱,۰۹	۱,۱۰	۱,۰۳	۱,۰۶	۱,۰۳	۰,۹۴	۰,۶۸	۱,۰۹	۰,۸۴	۱,۱۰
TiO ₂	۱,۸۴	۱,۷۵	۱,۱۷	۱,۱۴	۱,۳۰	۱,۶۲	۰,۷۱	۱,۷۵	۱,۲۴	۱,۶۶	۱,۶۵	۱,۲۱
Al ₂ O ₃	۰,۱۳	۰,۱۰	۰,۰۱	۰,۰۲	۰,۰۱	۰,۰۱	۰,۰۴	۰,۰۲	BD	BD	۰,۰۳	BD
FeO ^t	۷,۴۴	۷,۶۲	۱۴,۲۰	۱۲,۴۱	۹,۲۵	۱۰,۵۰	۹,۴۵	۸,۷۱	۱۴,۶۶	۱۱,۳۳	۱۱,۸۸	۱۱,۲۵
MnO	۰,۱۸	۰,۲۱	۰,۳۹	۰,۲۹	۰,۱۷	۰,۲۲	۰,۲۷	۰,۳۱	۰,۳۹	۰,۲۹	۰,۴۹	۰,۳۳
MgO	۱۵,۲۷	۱۵,۰۲	۱۱,۸۶	۱۱,۶۵	۱۴,۳۰	۱۲,۵۵	۱۲,۲۸	۱۵,۰۹	۱۱,۱۵	۱۲,۳۸	۱۱,۵۸	۱۱,۴۸
CaO	۲۱,۸۶	۲۱,۰۰	۲۰,۷۷	۲۰,۶۷	۲۱,۳۱	۲۱,۰۲	۲۱,۱۶	۲۱,۰۰	۲۱,۰۵	۲۱,۰۲	۲۰,۹۵	۲۱,۱۳
Na ₂ O	۰,۶۲	۰,۶۲	۰,۶۵	۰,۵۶	۰,۵۹	۰,۴۶	۰,۶۴	۰,۶۷	۰,۵۶	۰,۶۲	۰,۵۲	۰,۵۸
K ₂ O	۰,۰۱	BD	BD	BD	BD	۰,۰۱	BD	۰,۰۱	BD	BD	BD	BD
Total	۱۰۰,۲۶	۱۰۰,۵۱	۱۰۰,۶۷	۹۹,۸۲	۹۹,۳۳	۹۹,۱۱	۹۹,۲۲	۱۰۰,۵۴	۱۰۰,۷۲	۹۹,۹۱	۹۹,۹۴	۹۹,۸۴
Si	۱,۹۱	۱,۹۶	۱,۹۱	۱,۸۷	۱,۹۱	۱,۹۰	۱,۹۳	۱,۹۶	۱,۹۶	۱,۸۹	۱,۹۵	۱,۹۱
Ti	۰,۰۲	۰,۰۱	۰,۰۲	۰,۰۳	۰,۰۲	۰,۰۳	۰,۰۳	۰,۰۲	۰,۰۲	۰,۰۳	۰,۰۲	۰,۰۲
Al	۰,۱۷	۰,۱۸	۰,۱۵	۰,۱۹	۰,۱۵	۰,۱۷	۰,۱۱	۰,۱۸	۰,۱۷	۰,۱۷	۰,۱۸	۰,۱۵
Al(IV)	۰,۱۵	۰,۱۷	۰,۱۵	۰,۱۸	۰,۱۴	۰,۱۶	۰,۱۰	۰,۱۷	۰,۱۶	۰,۱۶	۰,۱۷	۰,۱۵
Al(VI)	۰,۰۲	۰,۰۱	BD	۰,۰۱	۰,۰۱	۰,۰۱	۰,۰۱	۰,۰۱	۰,۰۱	۰,۰۱	۰,۰۱	BD
Cr	۰,۰۱	BD	BD	BD	BD	BD	BD	BD	BD	BD	BD	BD
Fe	۰,۲۴	۰,۲۴	۰,۴۶	۰,۴۱	۰,۲۶	۰,۳۴	۰,۳۱	۰,۲۸	۰,۴۷	۰,۳۷	۰,۵۷	۰,۴۳
Mn	۰,۰۱	۰,۰۱	۰,۰۱	۰,۰۱	۰,۰۱	۰,۰۱	۰,۰۱	۰,۰۱	۰,۰۱	۰,۰۱	۰,۰۲	۰,۰۱
Mg	۰,۸۲	۰,۸۹	۰,۶۳	۰,۶۸	۰,۸۲	۰,۷۳	۰,۷۸	۰,۸۴	۰,۶۴	۰,۷۲	۰,۵۲	۰,۶۵
Ca	۰,۹۰	۰,۸۴	۰,۸۷	۰,۸۷	۰,۸۸	۰,۸۸	۰,۹۰	۰,۸۴	۰,۸۷	۰,۸۷	۰,۸۷	۰,۸۹
Na	۰,۰۲	۰,۰۲	۰,۰۴	۰,۰۴	۰,۰۳	۰,۰۳	۰,۰۳	۰,۰۲	۰,۰۳	۰,۰۵	۰,۰۴	۰,۰۴
K	BD	BD	BD	BD	BD	BD	BD	BD	BD	BD	BD	BD
Total	۴,۰۱	۴,۰۵	۴,۱۱	۴,۰۴	۴,۰۰	۴,۰۱	۴,۰۵	۴,۰۵	۴,۰۶	۴,۰۳	۴,۰۷	۴,۰۲
Mg#	۰,۷۷	۰,۷۹	۰,۵۸	۰,۶۳	۰,۷۶	۰,۶۸	۰,۷۱	۰,۷۵	۰,۵۸	۰,۶۶	۰,۴۸	۰,۶۰
Cr#	۰,۰۲	۰,۰۴	BD	BD	BD	BD	۰,۰۳	۰,۰۱	BD	BD	۰,۰۲	BD
Quad	۹۷,۴۶	۹۷,۶۴	۹۵,۸۳	۹۶,۰۲	۹۷,۹۷	۹۶,۳۵	۹۸,۴۸	۹۸,۰۱	۹۷,۲۱	۹۷,۵۸	۹۹,۶۴	۹۶,۱۵
Jd	۰,۴۶	۰,۲۳	۰,۲۶	۰,۲۷	۰,۲۸	۰,۳۴	۰,۳۱	۰,۲۰	۰,۴۱	۰,۳۵	۰,۳۴	۰,۱۴
Ae	۲,۰۸	۲,۱۳	۲,۹۱	۲,۷۱	۲,۷۵	۲,۳۱	۳,۲۱	۱,۷۹	۲,۳۸	۲,۰۷	۲,۰۲	۲,۷۱
Wo	۴۴,۸۹	۴۴,۷۵	۴۴,۹۴	۴۴,۷۷	۴۴,۸۶	۴۴,۸۷	۴۴,۹۵	۴۴,۶۹	۴۴,۸۸	۴۴,۹۱	۴۴,۶۲	۴۴,۷۶
En	۴۱,۵۱	۴۱,۶۳	۴۱,۴۹	۴۱,۷۱	۴۱,۵۰	۴۱,۵۵	۴۱,۳۶	۴۱,۷۷	۴۱,۶۵	۴۱,۶۱	۴۱,۶۹	۴۱,۶۸
Fs	۱۳,۶۰	۱۳,۶۲	۱۳,۵۷	۱۳,۵۲	۱۳,۶۳	۱۳,۵۸	۱۳,۶۹	۱۳,۵۴	۱۳,۴۷	۱۳,۶۹	۱۳,۵۶	

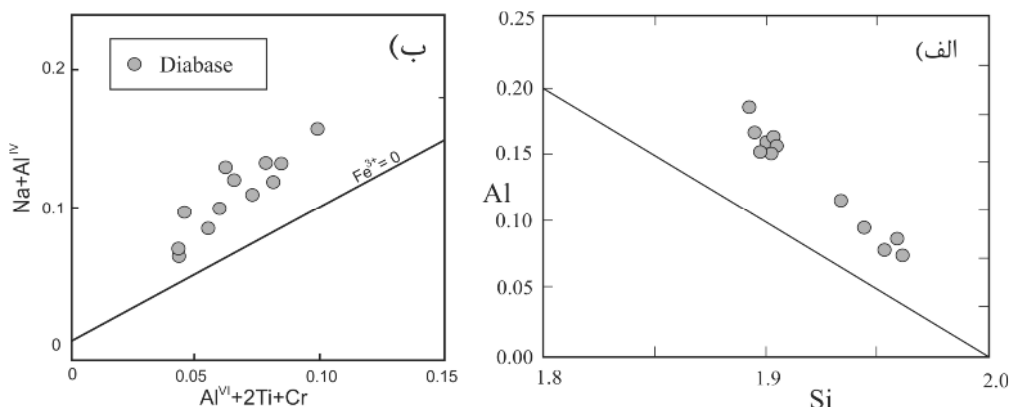
همراه با عناصر سه ظرفیتی وارد جایگاه هشت‌وجهی شده است. بنابراین میزان Fe³⁺ در کلینوپیروکسن‌ها تابعی از گریزندگی اکسیژن و میزان Al در جایگاه‌های چهاروجهی (Al^{IV}) می‌باشد [۲۱]. بر این اساس هر چه مقدار Al^{IV} بیشتر باشد، مقدار Fe³⁺ نیز بیشتر می‌شود و این نشان دهنده افزایش گریزندگی Na+Al^{IV}+2Ti+Cr نسبت به [۲۲] می‌زمان گریزندگی اکسیژن در محیط تشکیل دایک‌های دیابازی بالا بوده است که این امر احتمالاً نشان دهنده تاثیر

پژوهشگران متعددی بر وابستگی ترکیب کلینوپیروکسن‌ها به ترکیب شیمیایی گذازه میزبان آنها اشاره نموده‌اند، برای مثال [۲۱-۱۸]. کلینوپیروکسن‌های دایک‌های دیابازی در نمودار توزیع Si نسبت به Al [۲۱] در بالای خط اشباع جایگاه چاروجهی قرار می‌گیرند (شکل ۴ الف). بنابراین جایگاه چاروجهی در این کلینوپیروکسن‌ها به طور کامل با Si و به طور جزئی با Al^{IV} پر شده است و کاتیون‌های سه ظرفیتی مانند Al^{IV}, Fe³⁺, Ti³⁺ در آن وارد نشده‌اند. Al اضافی نیز

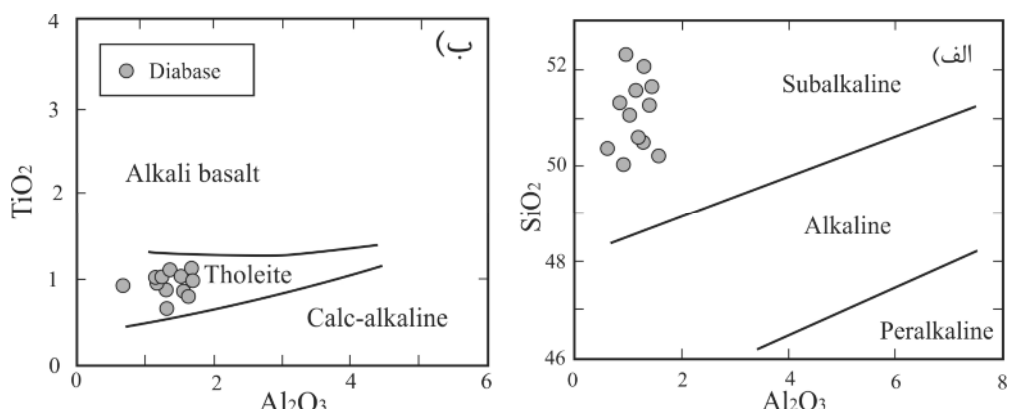
تشکیل شده‌اند.

برای تعیین مواردی از قبیل سری ماقمایی سنگ‌های آذرین می‌توان از نتایج تجزیه نقطه‌ای پیروکسن‌ها استفاده کرد [۲۵]. بر اساس نمودار تغییرات درصد وزنی Al_2O_3 نسبت به SiO_2 سنگ‌های دیابازی ویژگی نیمه‌قلیایی نشان می‌دهند (شکل ۵ الف). با توجه به نمودار تغییرات Al_2O_3 نسبت به TiO_2 [۲۵] نمونه‌های مورد بررسی در محدوده سری تولیتی قرار می‌گیرند (شکل ۵ ب). همچنین، بر اساس نمودار Ca قرار می‌گیرند (شکل ۵ ب). همچنین، بر اساس نمودار Al^{VI} / Al^{IV} در $\text{SiO}_2/100-\text{Na}_2\text{O}-\text{TiO}_2$ (مجموع نمودارهای سه تایی TiO_2 و SiO_2 /۱۰۰) (شکل ۵ ب)، مشخص می‌شود که دایک‌های دیابازی کامیاران ویژگی IAB دارند (شکل ۷).

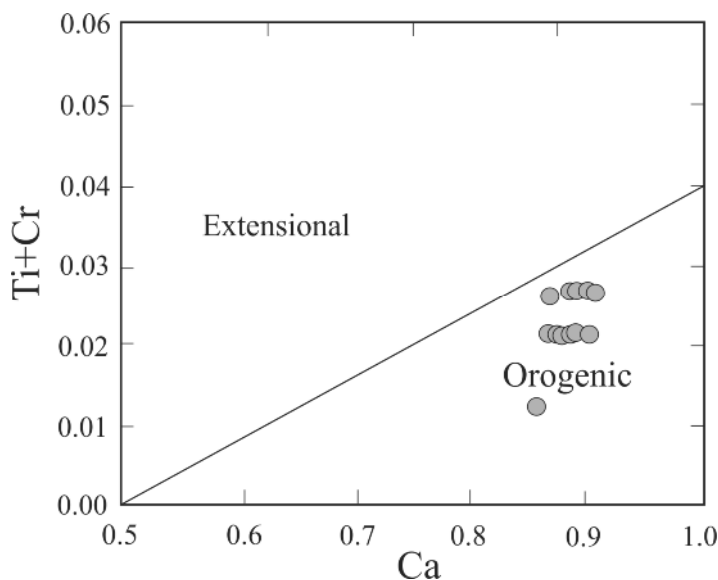
سیالات فرورانش بر ماقمایی متبلور کننده دایک‌های دیابازی مجموعه افیولیتی کامیاران است (شکل ۴ ب). براساس بررسی‌های تجربی ذوب در سنگ‌های قلیایی میزان Al^{VI} تابعی از فشار تشکیل آنهاست [۲۳]. بنابراین، مقادیر پایین Al^{VI} در کلینوپیروکسن‌های دایک‌های دیابازی با فشار پایین تبلور سازگار است. از آنجاکه مقدار $\text{Al}^{\text{VI}}/\text{Al}^{\text{IV}}$ در گستره ۰،۰۵ تا ۰،۱۴ است، در نمودار مرجع [۲۲] $\text{Al}^{\text{VI}}/\text{Al}^{\text{IV}} = 0.25$ قرار گرفته‌اند. این خط نشان دهنده فشار ۵ کیلوبار است. بر این اساس کانی‌های کلینوپیروکسن در فشارهای پایین و زیر ۵ کیلوبار متبلور شده‌اند. همچنین، مقادیر Al^{VI} در پاسخ به افزایش میزان آب موجود در محیط تبلور پیروکسن‌ها، کاهش می‌یابد [۲۴]. بنابراین، بر اساس نمودار Al^{IV} نسبت به Al^{VI} [۲۴] کانی‌های کلینوپیروکسن در شرایط فشار زیر ۵ کیلوبار و در حضور حدود ۰،۲۵ درصد آب



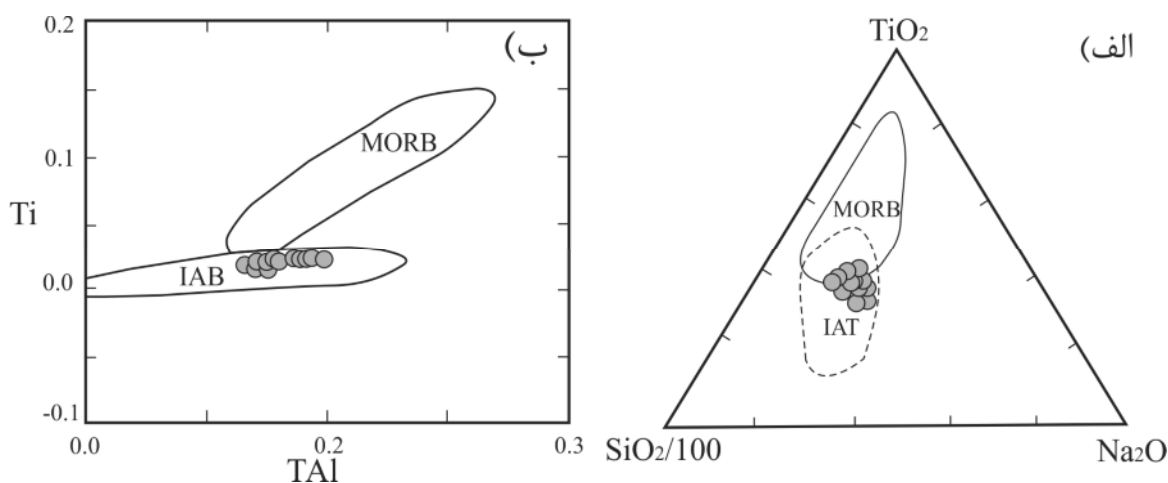
شکل ۴ الف- نمودار توزیع Si و Al کلینوپیروکسن‌های نمونه دیابازی در بالای خط اشباع جایگاه چهاروجهی قرار می‌گیرند [۲۱]. ب- کانی‌های کلینوپیروکسن نمونه دیابازی در نمودار $\text{Al}^{\text{VI}}+2\text{Ti}+\text{Cr}$ در برابر $\text{Na}+\text{Al}^{\text{IV}}$ [۲۲] در بالای خط $\text{Fe}^{3+}=0$ قرار می‌گیرند که نشان دهنده بالا بودن گریزندگی اکسیژن و احتمالاً تاثیر سیالات فرورانش بر سنگ‌های دیابازی است.



شکل ۵ لف- نمودار تغییرات Al_2O_3 نسبت به SiO_2 [۲۵] که با توجه به آن سنگ‌های دیابازی ویژگی نیمه‌قلیایی نشان می‌دهند. ب- نمودار تغییرات Al_2O_3 نسبت به TiO_2 [۲۵] که در آن نیز سنگ‌های دیابازی در محدوده سری تولیتی قرار می‌گیرند.



شکل ۶ نمودار Ca نسبت به $\text{Ti}+\text{Cr}$ [۲۶] که با توجه به آن کانی‌های کلینوپیروکسن محیط کوهزایی نشان می‌دهند.



شکل ۷ الف-نمودار سه متغیره $\text{SiO}_2/100-\text{Na}_2\text{O}-\text{TiO}_2$ [۲۷] که در آن اغلب کانی‌های کلینوپیروکسن محیط IAT نشان داده و برخی نیز در محدوده همپوشی MORB و IAT (مجموع آلومنیوم چهاروجهی و هشتوجهی) نسبت به Ti [۲۷] که در آن نیز محیط IAT برای موقعیت تشکیل سنگ‌های دیابازی مشخص می‌شود.

اعضای قلیایی آنها دارای ویژگی IAB باشند در یک محیط فرورانش تشکیل شده‌اند. بنابراین دایک‌های دیابازی مجموعه افیولیتی کامیاران با ویژگی IAB احتمالاً نشان دهنده محیط فرورانش و افیولیت‌های نوع منطقه فرافرورانش هستند. برداشت

سنگ‌های مجموعه افیولیتی کامیاران به صورت زمین‌ساختی و گسل خورده در مجاورت یکدیگر قرار دارند. بررسی‌های

دیسمانس و همکارانش [۲۸] وجود دایک‌هایی مربوط به جزایر قوسی با گرایش تولوئیتی از افیولیت کرمانشاه را گزارش کردند که با سنگ‌های دیابازی با ویژگی IAB در محدوده کامیاران، همخوانی دارند. مجموعه‌های افیولیتی بر اساس تقسیم‌بندی پیرس [۲۹] به دو گروه MORB و SSZ (منطقه فرافرورانش) تقسیم شده‌اند. اغلب پژوهشگران مانند مجموعه افیولیتی کرمانشاه را جزو افیولیت‌های SSZ محسوب می‌کنند (برای مثال [۵، ۶، ۷، ۱۱، ۱۲]). مجموعه‌های افیولیتی که

deformation", International Journal of Earth Science 94 (2005), 401–419.

[3] McQuarrie N., "Crustal scale geometry of the Zagros fold-thrust belt, Iran", *Journal of Structural Geology* 26 (2004), 519–535.

[4] Homke S., Verges J., van der Beek P., Fernandez M., Saura E., Barbero L., Badics B., Labrin E., "Insights in the exhumation history of the NW Zagros from bedrock and detrital apatite fission-track analysis: evidence for a long-lived orogeny", *Basin Research* 22 (2010), 659–680.

[5] Allahyari K., Saccani E., Pourmoafi M., Beccaluva L., Masoudi F., "Petrology of mantle peridotites and intrusive mafic rocks from the Kermanshah ophiolitic complex (Zagros belt, Iran): implications for the geodynamic evolution of the Neo-Tethyan oceanic branch between Arabia and Iran", *Ophioliti* 35 (2010), 71–90.

[6] Whitechurch H., Omrani J., Agard P., Humbert F., Montigny, R., Jolivet, L., "Evidence for Paleocene–Eocene evolution of the foot of the Eurasian margin (Kermanshah ophiolite, SW Iran) from back-arc to arc: implications for regional geodynamics and obduction", *Lithos* 182-183 (2013), 11–32.

[۷] الهمیاری خ., پورمعافی م., خلعتبری جعفری م., "سنگ-شناسی و ژئوشیمی گدازه‌های بالشی محدوده هرسین، افیولیت کرمانشاه، باختر ایران"، *علوم زمین شماره ۸۴ (۱۳۹۱)*، صفحه ۱۸۹ – ۱۹۸.

[۸] ترکیان ا., دارابی زاده ز., آلبانی ف., نقره ئیان موسی.. "کاربرد داده‌های ژئوشیمی دایک‌های دیابازی افیولیت کرمانشاه (منطقه صحنه – هرسین) در تعیین جایگاه زمین‌ساختی آن‌ها، بلورشناسی و کانی شناسی ایران سال بیست و یکم شماره ۲ (۱۳۹۲)، صفحه ۳۴۲ – ۳۳۱.

[9] Ghazi A. M., Hassanipak A. A., "Geochemistry of subalkaline and alkaline extrusives from the Kermanshah ophiolite, Zagros Suture Zone, western Iran: implications on Tethyan plate tectonics", *Journal of Asian Earth Sciences*, 17 (1999), 319–332.

میکروسکوپی نشان دهنده تشکیل آمفیبیول‌های باروسیتی و ترمولیت - اکتینولیتی در سنگ‌های دیابازی کامیاران و در نتیجه رخداد رخساره شیست سبز بالایی هستند. بر اساس شیمی کانیایی، ترکیب پلاژیوکلازهای سنگ‌های دیابازی آندزین است. کانی‌های پیروکسن نیز در تمامی نمونه‌های دیابازی دیوپسیدی می‌باشند. در کلینوپیروکسن، جایگاه چهاروجهی، به‌طور کامل با Si و به طور جزئی با Al^{IV} (Al^{IV}) پر شده است. در حین تبلور کلینوپیروکسن در دایک‌های دیابازی میزان گریزندگی اکسیژن بالا بوده است که احتمالاً نشان دهنده تاثیر سیالات فرورانش بر دایک‌های دیابازی مجموعه افیولیتی کامیاران است. همچنین کانی‌های کلینوپیروکسن در شرایط فشرار زیر ۵ کیلوبار و در حضور حدود ۲/۵ درصد آب تبلور یافته‌اند. علاوه بر این، کانی‌های کلینوپیروکسن ویژگی نیمه-قلیایی نشان داده و جزو سری ماگماهی تولنیتی بوده است. سنگ‌های دیابازی کامیاران گرایش IAB دارند. بر این اساس افیولیت‌های نوع منطقه فرافرونش و محیط تشکیل جلوی فرورانش هستند. این یافته با سایر بررسی‌های انجام شده روی افیولیت کرمانشاه (برای مثال [۵، ۶، ۷، ۱۲]) که محیط تشکیل آن را یک محیط فرافرونش می‌دانند، سازگار است.

قدرتانی

نویسنده‌گان مقاله از دکتر رالف میلکه از دانشگاه برلین به خاطر همکاری ایشان در تجزیه‌های ریزپردازش نقطه‌ای و پیشنهادات سازنده ایشان کمال تشكر و قدردانی را دارند. همچنین از سردبیر محترم مجله دکتر ناصر تجبر و مدیر داخلی دکتر مسعود همام برای تلاش‌های ایشان در انتشار مجله و پیشنهادات سازنده بسیار متشرکریم.

مراجع

- [1] Alavi M., "Tectonics of the Zagros orogenic belt of Iran: new data and interpretations", *Tectonophysics* 229 (1994), 211–238.
- [2] Agard P., Omrani J., Jolivet L., Mouthereau F., "Convergence history across Zagros (Iran): constraints from collisional and earlier

- [19] Nisbet E. G., Pearce J. A., "Clinopyroxene composition of mafic lavas from different tectonic settings", Contributions to Mineralogy and Petrology 63 (1977), 161-173.
- [20] Leake B. E., Woolley A. R., Arps C. E. S., Birch W. D., Gilbert M. C., Grice J. D., Hawthorne F. C., Kato A., Kisch H. J., Krivovichev V. G., Linthout K., Laird J., Mandarino J. A., Maresch W. V., Nickel E. H., Rock N. M. S., Schumacher J. C., Smith D. C., Stephenson N. C. N., Ungaretti L., Whittaker E. J. W., Youzhi G., "Nomenclature of amphiboles: report of the subcommittee on amphiboles of the international mineralogical association, Commission on new minerals and minerals name", American Mineralogist 82 (1997), 1019–1037.
- [21] Kushiro I., "Si-Al relation in clinopyroxenes from igneous rocks", American Journal of Science 258 (1960), 548-554.
- [22] Schumacher J. C., "The estimation of ferric iron in electron microprobe analysis of amphiboles", Mineralogical Magazine 61 (1997), 312-321.
- [23] Aoki, K., Shiba, I., "Pyroxenes from lherzolite inclusions of Itinome - gata Japan", Lithos 6 (1973), 41-51.
- [24] Helz R. T., "Phase relations of basalts in their melting ranges at $pH_2O = 5$ kb as a function of oxygen fugacity, Part I, Mafic phases", Journal of Petrology 14 (1973), 249-302.
- [25] Le Base M. J., "The role of aluminum in igneous clinopyroxenes with relation to their parentage", American Journal of Science 260 (1962), 267-288.
- [26] Letterrier J., Maury R. C., Thonon P., Girard D., Marchal M., "Clinopyroxene composition as a method of identification of the magmatic affinities of paleo-volcanic series", Earth and Planetary Science Letters 59 (1982), 139–54.
- [27] Beccaluva L., Macciotta G., Piccardo G. B., Zeda O., "Clinopyroxene composition of ophiolite basalts as petrogenetic indicator", Chemical Geology 77 (1989), 165-182.
- [28] Azizi H., Chung S. L., Tanaka T., Asahara Y., "Isotopic dating of the Khoy metamorphic complex (KMC), northwestern Iran: A significant revision of the formation age and magma source", Precambrian Research 185 (2011), 87–94.
- [29] Saccani E., Allahyari K., Beccaluva L., Bianchini G., "Geochemistry and petrology of the Kermanshah ophiolites (Iran): implication for the interaction between passive rifting, oceanic accretion, and plume-components in the Southern Neo-Tethys Ocean", Gondwana Research 24 (2013), 392–411.
- [30] Ao S., Xiao W., Khalatbari Jafari M., Talebian M., Chen L., Wan B., Ji W., Zhang Zh., "U-Pb zircon ages, field geology and geochemistry of the Kermanshah ophiolite (Iran): From continental rifting at 79 Ma to oceanic core complex at ca. 36 Ma in the southern Neo-Tethys", Gondwana Research 31 (2015), 305-318.
- [۳۱] صادقیان م، احمدی م، "معرفی و بررسی نقشه ۱:۱۰۰۰۰۰ کامیاران با نگرشی ویژه بر مجموعه افیولیتی آن"، چهارمین همایش انجمن زمین‌شناسی ایران، (۱۳۷۹)، ۴ صفحه.
- [۳۲] احمدی م، "بررسی پترولوزیکی مجموعه بازالتی کامیاران"، رساله کارشناسی ارشد پetroلوزی، دانشگاه تهران، (۱۳۸۰).
- [۳۳] هوشمندزاده ع، الماسیان م، نقشه زمین‌شناسی کامیاران - سازمان زمین‌شناسی و اکتشافات معدنی کشور، مقیاس ۱:۱۰۰۰۰، (۱۳۸۵).
- [۳۴] Kretz R., "Symbols for rock-forming minerals", American Mineralogist 68 (1983), 277–279.
- [۳۵] Morimoto N., Fabries J., Ferguson A. K., Ginzburg, I. V., Ross, M., Seifert, F. A., Zuss-man, J., Aoki, K., Gottardi, D., "Nomenclature of pyroxenes", American Mineralogist 73 (1988), 1123–1133.
- [۳۶] Deer W. A., Howie R. A., Zussman J., "An Introduction to the Rock Forming Minerals", Longman Scientific and Technical, Second Edition, (1992) 696.

- [29] Pearce J. A., "Geochemical fingerprinting of oceanic basalts with applications to ophiolite classification and the search for Archean oceanic crust", *Lithos* 100 (2008), 14–48.
- [28] Desmons, J., Beccaluva, L., "Mid-ocean ridge and island-arc affinities in ophiolites from Iran: palaeographic implications", *Chemical Geology* 39 (1983), 39–63.